

УДК 519.1

ПЕРЕЧИСЛЕНИЕ ЦИКЛОВ МАКСИМАЛЬНОЙ ДЛИНЫ В ГРАФАХ,  
СООТВЕТСТВУЮЩИХ СТРУКТУРНЫМ ФОРМУЛАМ  
ОДНОГО ГОМОЛОГИЧЕСКОГО РЯДА  
ПОЛИЦИКЛИЧЕСКИХ СОЕДИНЕНИЙ КАРКАСНОГО ТИПА

М.Х.Клин, О.В.Лебедев, Т.С.Пивина

В работе решается задача перечисления циклов максимальной длины в графах, принадлежащих одной бесконечной серии. Графы  $P_n$ ,  $n \geq 2$ , из этой серии имеют  $6n$  вершин и представляют собой упрощенные структурные формулы полициклических соединений каркасного типа. Интерес к перечислению циклов максимальной длины мотивируется проблемами анализа применимости номенклатурных правил ИЮПАК.

На химическом уровне постановка рассматриваемой задачи возникла в ходе исследования, проведенного авторами статьи совместно с Л.В.Епишиной, Л.И.Суворовой, Т.Б.Марковой. В общих чертах эта постановка обсуждается в §1, более подробное изложение результатов проведенного исследования готовится к печати. В ходе этого исследования, в частности, на эвристическом уровне были описаны все максимальноразмерные циклы в первых членах серии и высказана гипотеза о том, как выглядят такие циклы для произвольного члена серии. Строгое математическое обоснование этой гипотезы и составляет основное содержание статьи. В § 2,3 приводятся необходимые сведения о графах и группах подстановок, дается математическая постановка задачи, рассматриваются простейшие свойства графов  $P_n$ . В §4 содержится описание

всех циклов максимальной длины в  $P_n$ . В §5 изучается действие группы автоморфизмов графа  $P_n$  на множестве всех циклов максимальной длины и с помощью леммы Бернсайда подсчитывается количество таких попарно неизоморфных циклов.

Полученные результаты представляют, на наш взгляд, самостоятельный интерес в теории графов, они могут быть использованы при тестировании алгоритмов поиска циклов в графах, вычисления групп автоморфизмов графов и их орбит.

### §1. Гомологический ряд полициклических соединений

В математической химии сложилась традиция изучения классов графов, включающих в себя графы, соответствующие структурным формулам синтезированных органических соединений. Укажем два примера таких классов - полимино [1] и кубические графы [2] (количество ссылок может быть значительно большим). Эти исследования находят применения в химической информатике, в установлении связей "структура - свойство", они позволяют лучше очертить круг "химических графов", служат стимулом к поискам путей синтеза новых соединений.

В настоящей работе авторы обращают внимание на новую бесконечную однопараметрическую серию графов  $P_n$ ,  $n \geq 2$ . Интерес к этим графам возник в связи с анализом применимости правил ИЮПАК для однозначной нумерации некоторых мостиковых полициклических соединений, а также в ходе рассмотрения хиральных объектов, при конфигурационном описании которых возникают те или иные сложности. Авторы обратили внимание на гомологический ряд структур, построенных из стопок бензольных колец, соединенных друг с другом в мета-положениях одинаковой длины полиметиленовыми цепочками (рис.1). Первые два члена данного ряда для нескольких значений  $n$  описаны (см., например [3]).

При наличии одного, и притом одного и того же заместителя "А", в каждом из двух "концевых" бензольных циклов и таком их

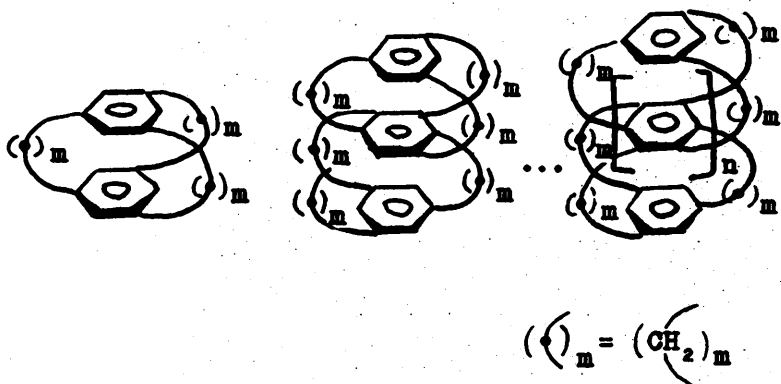


Рис. 1

расположении относительно друг друга, которое исключает появление в молекулах плоскостей симметрии, с ростом номера члена гомологического ряда (все они относятся к точечной группе симметрии  $C_2$ ) существенно возрастает сложность конфигурационного описания энантиомеров по процедуре Кана-Ингольда-Прелога [4]. А именно, процедура послойного сравнения старшинства двух претендентов на роль пилотных атомов даже у второго члена ряда уже чрезмерно сложна. У последующих членов ряда она становится настолько громоздкой, что делает конфигурационное описание этих структур по системе [4] нецелесообразным.

В связи с этим представлялось рациональным попытаться воспользоваться для конфигурационного описания рассматриваемых энантиомеров альтернативной процедурой (см. [5]), для которой вообще не нужны пилотные атомы. При этом, однако, в более широком контексте возникает вопрос: возможна или нет по правилам ИЮПАК нумерационная однозначность в незамещенных гомологах данного ряда, построенных по принципу последовательного наращивания новых бензольных колец, как это отражено на рис.1.

Для однозначного названия мостиковых полициклических соединений вообще и, в частности, каркасного типа по номенклатур-

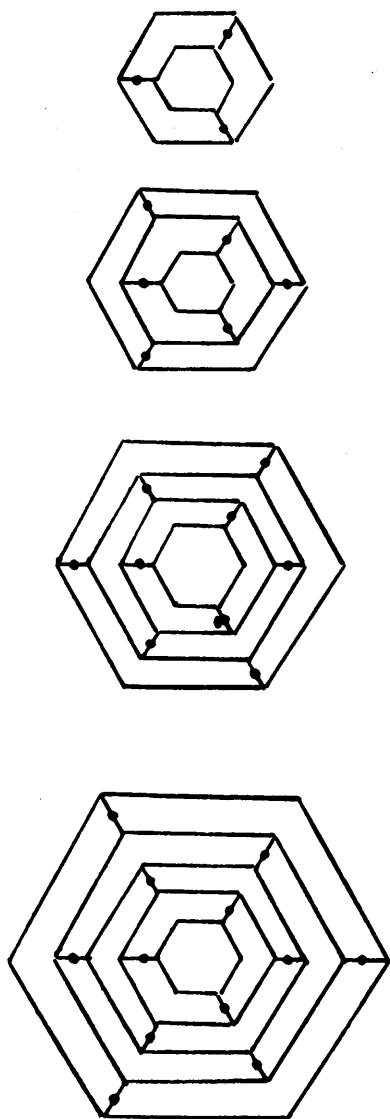


Рис. 2

ным правилам ИЮПАК [6] на первом этапе в них необходимо найти такой цикл, звенность которого (т.е. длина цикла - число входящих в него атомов) была бы максимальной. Когда число бензольных циклов в полициклической молекуле относительно невелико, эта задача решается на эвристическом уровне не слишком сложно - простым перебором всех возможных комбинаций. Если же это число  $\Delta$  велико, то сложность задачи возрастает.

Для более строгой постановки этой задачи необходимо прежде всего представить изображения членов гомологического ряда в виде диаграмм плоского графа. Такие диаграммы могут быть легко получены при проектировании пространственных моделей гомологов в направлении оси, соединяющей центры всех входящих в систему бензольных колец, по правилам центральной прямой перспективы [7]. Тогда первые четыре члена гомологического ряда приобретут вид, показанный на

рис. 2. Эти графы и являются первыми членами рассматриваемой далее серии (причем полиметиленовые цепочки ниже будут заменены на ребра, т.е. применена операция стягивания графов). Такое стягивание не влияет на структуру решений (см. замечание в конце §3), но зато упрощает постановку задачи.

Обращаем внимание читателя на то, что начало и конец доказательства математических утверждений обозначены знаками ◀ и ▶ соответственно.

## §2. Предварительные сведения о графах и группах

Ниже свободно используется терминология и простейшие сведения из теории графов и теории групп. Для знакомства с используемым аппаратом читатель может обратиться к монографиям [8-10]. Здесь мы остановимся лишь на нескольких моментах, имеющих принципиальное значение.

Гамельтоновым циклом в графе называется простой цикл графа, включающий все его вершины. Если в графе с  $V$  вершинами не имеется гамельтонова цикла, но имеется цикл длины  $V-1$ , то такой цикл обычно называется гипогамельтоновым. Рассматриваемые графы имеют четное число вершин и являются двудольными. Хорошо известно (см., например, [8]), что любой цикл в двудольном графе имеет четную длину. Поэтому если рассматриваемый граф не содержит гамельтонова цикла, то он может содержать только простой цикл длины  $V-2$  - такой цикл, если он существует, мы также будем называть гипогамельтоновым.

Группа подстановок в соответствии с [10] трактуется как пара  $(G, N)$ , где  $G$  - группа,  $N$  - множество и  $G$  действует на множестве  $N$ . Действие подстановки  $g \in G$  на элемент  $x \in N$  обозначается через  $x^g$ . Будет использована лемма Бернсайда (правильнее ее называть леммой Коши-Фробениуса-Бернсайда, см. [11-12]), которая утверждает, что количе-

ство  $o(G)$  орбит группы  $(G, N)$  на множестве  $N$  может быть вычислено по формуле

$$o(G) = \frac{1}{|G|} \sum_{g \in G} \chi(g),$$

где  $\chi(g)$  - характер подстановки  $g$ , т.е. количество элементов  $N$ , фиксируемых (оставляемых на месте) подстановкой  $g$ .

На самом деле лемма Бернсайда будет применена не к исходной группе (в нашем случае группе  $S_3 \times S_2$ ), а к новой индуцированной группе подстановок, полученной в два этапа: сначала рассматривается элемент  $\lambda$  из абстрактной группы диэдра, затем - действие на множестве вершин одного из графов  $\Gamma$ , наконец, на множестве гипогамильтоновых циклов исследуемого графа. В этих случаях индуцированные подстановки отличаются от исходного элемента с помощью индекса и знака  $\sim$ . Используемая нами схема применения леммы Бернсайда подробно изложена в [12], где также можно найти элементарные сведения о группах подстановок и группах автоморфизмов графов.

Наконец, отметим, что два цикла одинаковой длины в графе  $\Gamma$  мы называем изоморфными, если один цикл может быть переведен в другой с помощью подстановки, являющейся автоморфизмом графа  $\Gamma$ . В противном случае циклы называются неизоморфными. Таким образом, в данном контексте термин "изоморфизм" означает одинаковое расположение циклов в графе (циклы одинаковой длины, взятые сами по себе, вне  $\Gamma$ , конечно, всегда изоморфны как графы).

### §3. Графы $P_n$ и некоторые их свойства

Введем в рассмотрение семейство графов, которые мы будем называть  $n$ -слойными стопками и обозначать символом  $P_n$ . Граф  $P_n$  имеет  $6n$  вершин, эти вершины расположены в  $n$  слоях (этажах), пронумерованных числами  $1, 2, \dots, n$ . Вершины

из каждого слоя порождают цикл длины 6. В каждом из таких циклов имеется две тройки вершин, образующих пустые подграфы, будем называть их пустыми тройками. Кроме ребер, входящих в циклы на каждом слое, имеются еще по три ребра между соседними слоями. Эти ребра соединяют вершины из пустой тройки  $i$ -го слоя с соответствующими вершинами одной из пустых троек  $i+1$ -го слоя, причем если с  $(i-1)$ -м слоем соединена одна из пустых троек  $i$ -го слоя, то с  $(i+1)$ -м слоем соединена другая пустая тройка. В итоге все вершины из 2-го, 3-го, ...,  $(n-1)$ -го

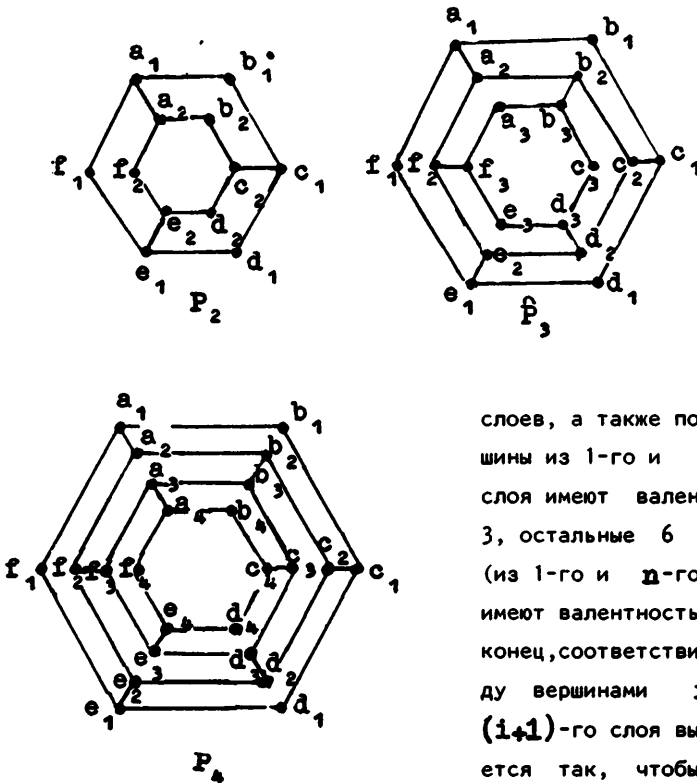


Рис. 3

слоев, а также по 3 вершины из 1-го и  $n$ -го слоя имеют валентность 3, остальные 6 вершин (из 1-го и  $n$ -го слоя) имеют валентность 2. Наконец, соответствие между вершинами  $i$ -го и  $(i+1)$ -го слоя выбирается так, чтобы весь граф был инвариантен относительно симметрической группы  $S_3$  по-

рядка 6, перемещающей вершины внутри каждой пустой тройки. Диаграммы графов  $P_2, P_3, P_4$  приведены на рис. 3.

Приведенное описание графов  $P_n$  в содержательных терминах весьма громоздко, поэтому мы приведем также формальное описание этих графов.

Пусть  $L = \{a, b, c, d, e, f\}$ ,  $N = N(n) = \{1, 2, \dots, n\}$ , тогда положим  $P_n = (V(P_n), E(P_n))$ , здесь

$$V(P_n) = L \times N,$$

$$E(P_n) = \left( \bigcup_{i=1}^n R_i \right) \cup \left( \bigcup_{i=1}^{n-1} Q_i \right),$$

где

$$R_i = \{[a_i, b_i], [b_i, c_i], [c_i, d_i], [d_i, e_i], [e_i, f_i], [f_i, a_i]\},$$

$$Q_i = \begin{cases} \{[a_i, a_{i+1}], [c_i, c_{i+1}], [e_i, e_{i+1}]\}, & \text{если } i = 2k-1; \\ \{[b_i, b_{i+1}], [d_i, d_{i+1}], [f_i, f_{i+1}]\}, & \text{если } i = 2k. \end{cases}$$

Для простоты обозначим  $(x, i)$  через  $x_i$ , кроме того, будем использовать обозначение  $L_i = L \times \{i\}$ , так что  $L_i = \{a_i, b_i, c_i, d_i, e_i, f_i\}$ . Ребра из множества  $Q_i$  далее будем называть перегородками.

Опишем прежде всего симметрию графов  $P_n$ . Удобно будет отождествлять 6-вершинный цикл с графом  $P_1$  - первым членом серии  $P_n$ . Очевидно,  $\text{Aut}(P_1) = D_6$ , где  $D_6$  - группа диэдра порядка 12. Напомним, что  $D_6 \cong S_3 \times S_2$ .



ЛЕММА 1. При  $n \geq 1$

$$\text{Aut}(P_n) \geq S_3 \times S_2.$$

« При  $n=1$  лемма верна, пусть  $n \geq 2$ .

Введем в рассмотрение три подстановки на множестве

$V(P_n)$ :

$$g_n = \begin{pmatrix} a_1 b_1 c_1 d_1 e_1 f_1 a_2 b_2 c_2 d_2 e_2 f_2 \dots \\ c_1 d_1 e_1 f_1 a_1 b_1 c_2 d_2 e_2 f_2 a_2 b_2 \dots \end{pmatrix};$$

$$h_n = \begin{pmatrix} a_1 b_1 c_1 d_1 e_1 f_1 a_2 b_2 c_2 d_2 e_2 f_2 \dots \\ a_1 f_1 e_1 d_1 c_1 b_1 a_2 f_2 e_2 d_2 c_2 b_2 \dots \end{pmatrix},$$

$$\tau_n = \begin{pmatrix} a_1 b_1 c_1 d_1 e_1 f_1 a_2 & b_2 & c_2 & d_2 & e_2 & f_2 \dots \\ & & & & & \dots a_n b_n c_n d_n e_n f_n \\ a_n b_n c_n d_n e_n f_n a_{n-1} & b_{n-1} & c_{n-1} & d_{n-1} & e_{n-1} & f_{n-1} \dots \\ & & & & & \dots a_1 b_1 c_1 d_1 e_1 f_1 \end{pmatrix},$$

если  $n = 2k$ ,

$$\tau_n = \begin{pmatrix} a_1 b_1 c_1 d_1 e_1 f_1 a_2 & b_2 & c_2 & d_2 & e_2 & f_2 \dots \\ & & & & & \dots a_n b_n c_n d_n e_n f_n \\ d_n e_n f_n a_n b_n c_n d_{n-1} & e_{n-1} & f_{n-1} & a_{n-1} & b_{n-1} & c_{n-1} \dots \\ & & & & & \dots d_1 e_1 f_1 a_1 b_1 c_1 \end{pmatrix},$$

если  $n = 2k+1$ .

Используя приведенное выше формальное описание графов  $P_n$ , нетрудно убедиться в том, что  $g_n, h_n, \tau_n$  являются автоморфизмами графа  $P_n$ . Поскольку, очевидно,  $\langle g_n, h_n \rangle \cong S_3$ , а  $\tau_n$  перестановочна с  $g_n$  и  $h_n$ , имеем  $\langle g_n, h_n, \tau_n \rangle \cong S_3 \times S_2$ , так что  $\text{Aut}(P_n) \geq S_3 \times S_2$ . »

Теперь для описания симметрий графов  $P_n$  осталось доказать, что никаких других автоморфизмов, кроме подстановок из

группы  $S_3 \times S_2$ , действующей на  $V(P_n)$ , графы  $P_n$  не имеют.

ПРЕДЛОЖЕНИЕ 1. При  $n \geq 1$

$$\text{Aut}(P_n) \cong S_3 \times S_2 .$$

◀ Доказательство проведем методом математической индукции. При этом будем использовать лемму 1. В качестве базы индукции рассмотрим  $n = 1$  и  $n = 2$ .

При  $n = 1$  предложение верно. При  $n = 2$  доказательство нетрудно провести, используя, например, граф  $P_2^*$ , двойственный к плоскому графу  $P_2$ . Пять вершин графа  $P_2^*$  соответствуют 6-вершинным циклам графа  $P_2$  - граням его плоского изображения (см. рис. 3). Легко видеть, что  $\text{Aut}(P_2^*) = S_3 \times S_2$ . Затем показываем, что  $\text{Aut}(P_2^*) \cong \text{Aut}(P_2)$ .

Теперь проведем индукционный шаг. Пусть для  $P_{n-1}$ ,  $n \geq 2$ , доказано, что  $\text{Aut}(P_{n-1}) \cong S_3 \times S_2$ . Рассмотрим граф  $P_{n+1}$ . В этом графе только 6 вершин имеют валентность 2. Прямая проверка показывает, что эти 6 вершин образуют одну орбиту группы  $G = S_3 \times S_2$  - подгруппы  $\text{Aut}(P_{n+1})$ . Шесть вершин валентности 3 из первого и последнего слоя характеризуются следующим свойством. Они имеют по 2 соседних вершины валентности 2; эти 6 вершин также образуют орбиту группы  $G$ . Отбросив указанные выше 12 вершин и смежные им ребра, мы получим граф  $P_{n-1}$ , причем каждый изоморфизм графа  $P_{n+1}$  отделяет и автоморфизм графа  $P_{n-1}$ . Значит,  $\text{Aut}(P_{n+1}) \cong \text{K} \times (S_3 \times S_2)$ , где  $\text{K}$  - подгруппа группы  $\text{Aut}(P_{n+1})$ , оставляющая на месте каждую вершину первого и последнего слоя. Подгруппа  $\text{K}$  одновременно является и подгруппой группы  $\text{Aut}(P_{n-1})$ , где  $P_{n-1}$  получен отбрасыванием первого и последнего слоя. По предположению индукции,  $\text{Aut}(P_{n-1}) \cong S_3 \times S_2$ , причем  $\text{Aut}(P_{n-1})$  действует диагонально на множестве вершин графа  $P_{n-1}$  и множестве вершин  $I_1 \cup I_{n-1}$ . Поэтому диагонально действует на этих множествах и подгруппа

$K$  группы  $\text{Aut}(P_{n-1})$ . По определению,  $K$  действует на  $L_1 \cup L_{n+1}$  как единичная группа, значит,  $K = \{e\}$ , так что  $\text{Aut}(P_{n+1}) \cong S_3 \times S_2$ . ▶

Для характеристики циклов в  $P_n$  полезно использовать следующее простое

ПРЕДЛОЖЕНИЕ 2. Граф  $P_n$  двудольный.

◀ Представим  $V(P_n)$  в виде  $V' \cup V''$ , где

$$V' = \{a_1, c_1, e_1, b_2, d_2, f_2, a_3, c_3, e_3, \dots\},$$

$$V'' = \{b_1, d_1, f_1, a_2, c_2, e_2, b_3, d_3, f_3, \dots\}.$$

Из описания графа следует, что любое ребро графа соединяет некоторую вершину из  $V'$  с некоторой вершиной из  $V''$ . Теперь двудольность следует из того, что  $V' \cap V'' = \emptyset$ . ▶

СЛЕДСТВИЕ. Всякий цикл графа  $P_n$  имеет четную длину.

ПРЕДЛОЖЕНИЕ 3. При  $n \geq 2$  граф  $P_n$  не является гамильтоновым.

◀ Допустим от противного, что в графе  $P_n$  существует гамильтонов цикл  $Z$ . Тогда этот цикл проходит через все 6 вершин слоя  $L_1$ , в частности, через вершины  $b_1, d_1, f_1$ ; поскольку эти вершины имеют валентность 2, цикл  $Z$  проходит через все ребра слоя  $L_1$ . Пришли к противоречию, так как получили, что простой цикл  $Z$  содержит простой подцикл длины 6 (подграф, натянутый на слой  $L_1$ ). ▶

Учитывая двудольность графа  $P_n$ , получаем

СЛЕДСТВИЕ. Всякий цикл в  $P_n$  имеет длину не более  $6n - 2$ .

Напомним, что мы условились называть циклы длины  $m - 2$  в  $m$ -вершинном двудольном графе ( $m$  - четное) гипогамильтоновыми.

**ПРЕДЛОЖЕНИЕ 4.** Пусть  $Z$  - гипогамильтонов цикл в  $P_n$ , тогда  $Z$  один раз проходит через 4 ребра слоев  $L_1, L_n$  и по два раза через ребра слоев  $L_2, \dots, \dots, L_{n-1}$ : один раз через одно ребро, а другой раз - через 3 ребра.

◀ Из доказательства предложения 3 следует, что  $Z$  не проходит через одну вершину слоя  $L_1$  и через одну вершину слоя  $L_n$ . Значит,  $Z$  проходит через все вершины слоев  $L_2, \dots, L_{n-1}$ . Причем  $Z$  - это замкнутый маршрут, который проходит через  $6n-2$  ребер графа  $P_n$ , часть этих ребер соединяет вершины из одного и того же слоя, а часть является перегородками. Поскольку два соседних слоя соединены только тремя перегородками,  $Z$  проходит через две таких перегородки, а в совокупности через  $2(n-1)$  перегородок. Зафиксируем одну из вершин цикла  $Z$  и объявим ее первой. Пусть это будет вершина слоя  $L_1$ , соединенная перегородкой со слоем  $L_2$ . Тогда цикл  $Z$  делает нечетное число шагов по слою  $L_2$ , проходит через перегородку между слоями  $L_2$  и  $L_3$  и т.д., доходит до слоя  $L_n$ , делает по нему 4 шага, проходит через перегородку между  $L_n$  и  $L_{n-1}$ , делает нечетное число шагов по  $L_{n-1}$  и т.д., возвращается в слой  $L_1$ . Итак, цикл  $Z$  проходит по 4 ребрам слоев  $L_1$  и  $L_n$  и дважды по нечетному числу ребер в слоях  $L_2, \dots, L_{n-1}$ . Значит, в итоге  $Z$  проходит через четное число ребер в слоях  $L_2, \dots, L_{n-1}$ , причем суммарно через  $4(n-2)$  ребер. Учитывая, что ни через один слой цикл не проходит по 6 ребрам, получаем, что цикл проходит через 4 ребра каждого из слоев  $L_2, \dots, L_{n-1}$ . ▶

**ЗАМЕЧАНИЕ.** Если каждую перегородку графа  $P_n$  заменить на цепь одной и той же длины  $k$ , то, как следует из доказательства предложения 4, структура циклов максимальной длины не изменится. Поэтому для реализации поставленных в §1 целей достаточно описать все гипогамильтоновы циклы в  $P_n$ .

#### §4. Описание гипогамильтоновых циклов в $P_n$

В предыдущем параграфе были найдены необходимые условия, которым должен удовлетворять произвольный гипогамильтонов цикл в  $P_n$  (если такие циклы вообще существуют). Здесь будет доказано, что гипогамильтоновы циклы действительно существуют, все они будут полностью описаны.

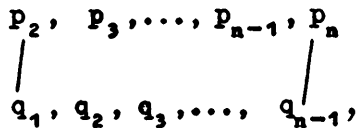
Введем сначала удобную для дальнейших исследований систему кодирования циклов. Будем считать, что у нас задано плоское изображение графа  $P_n$  в виде диаграммы графа. Слоям  $L_1, \dots, \dots, L_n$  на такой диаграмме соответствует система концентрических шестиугольников, причем вершины  $x_1, x_2, \dots, x_n$ , где  $x \in \{a, b, c, d, e, f\}$ , расположены на одном и том же "радиусе". Слой  $L_1$  является внешним, а слой  $L_n$  — внутренним шестиугольниками в диаграмме. Примеры таких диаграмм для  $n = 2, 3, 4$  были приведены ранее на рис. 3. Когда плоская диаграмма графа  $P_n$  задана, мы можем различать два направления движения — положительное и отрицательное по каждому из подграфов  $L_i, 1 \leq i \leq n$ . Договоримся, например, что плюс соответствует движению по часовой стрелке, а минус — движению против часовой стрелки.

Сделаем одно важное замечание, которое будет позднее использоваться в наших рассуждениях. Определенные в пункте 3 подстановки  $g_n, h_n, \tau_n$  на множестве  $V(P_n)$  обладают следующим свойством: для каждого слоя  $L_i, 1 \leq i \leq n$ , ориентация цикла, порожденного слоем  $L_i$ , сохраняется при действии подстановок  $g_n, \tau_n$  (т.е. совпадает с ориентацией образа этого цикла) и меняется на противоположную при действии подстановок  $h_n$ .

Пусть теперь  $Z$  — некоторый гипогамильтонов цикл в  $P_n$ . Этот цикл проходит через две внешних и две внутренних вершины, соединенных перегородками с вершинами следующих слоев, далее будем показывать их крайними, пусть  $x$  — одна из таких вершин. Тогда движение по циклу  $Z$ , начиная с крайней вершины  $x$ ,

может быть осуществлено (согласно предложению 4) таким способом: по перегородке из  $X$  переходим в следующий слой, делаем  $P_2$  шагов по этому слою, затем по перегородке переходим в следующий слой, по которому делаем  $P_3$  шагов и т.д., делаем  $P_n$  шагов по последнему слою, затем по перегородке возвращаемся в предпоследний слой, по которому делаем  $Q_{n-1}$  шагов, и т.д. пока не возвращаемся в исходный цикл, по которому делаем  $Q_1$  шагов и приходим опять в крайнюю вершину  $X$ .

В итоге получаем, что цикл  $Z$  можно закодировать следующим вектором  $C_X(Z) = (P_2, P_3, \dots, P_{n-1}, P_n; Q_{n-1}, Q_{n-2}, \dots, Q_2, Q_1)$ . При этом цикл  $Z$  однозначно восстанавливается по значению  $X$  и самому коду. Отметим сразу же, что все составляющие кода - целые числа, причем  $|P_n| = |Q_1| = 4$ ,  $|P_i|, |Q_i| \in \{1, 3\}$ ,  $|P_i| + |Q_i| = 4$  для  $2 \leq i \leq n-1$ . В дальнейшем, для большей наглядности, мы будем иногда пользоваться следующим изображением кода:



чтобы подчеркнуть его циклический характер.

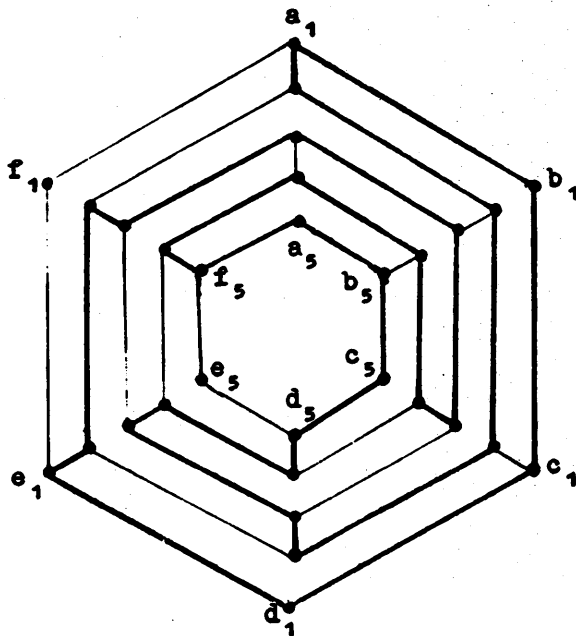
ПРИМЕР. На рис. 4 изображены граф  $P_5$ , цикл  $Z$  на этом графе, а также его код  $C_{a_1}(Z)$ .

Отметим сразу же, что изображенный на рис. 4 гипогамильтонов цикл может быть закодирован еще тремя другими способами, а именно относительно вершин  $e_1, f_5$  и  $d_5$ . Все эти вершины также лежат на рассматриваемом цикле  $Z$ , принадлежат либо внешнему, либо внутреннему слою, из них идет перегородка в следующий за данным слой (т.е. являются крайними). Приведем соответствующие значения кодов:

$$C_{e_1}(Z) = (+1, +3, -3, +4; +1, -1, -3, +4),$$

$$C_{f_5}(Z) = (+3, -3, -1, -4; +3, +1, -1, -4),$$

$$C_{d_5}(Z) = (+1, -1, -3, +4; +1, +3, -3, +4).$$



$$C_{a_1}(Z) = \begin{matrix} +3, +1, -1, -4 \\ / \quad \quad \quad / \\ -4, -1, -3, +3 \end{matrix}$$

Рис. 4

Подмеченная на рассмотренном примере закономерность легко обобщается на случай произвольного числа слоев. Пусть  $X$  - крайняя вершина внешнего слоя,  $u, v$  - крайние вершины внутреннего слоя, причем путь по  $Z$  из  $X$  сразу же через перегородку к внутреннему слою проходит сначала через вершину  $u$ , а за-

тем через вершину  $V$ . Тогда крайние вершины  $X$  и  $V$  будем называть оппозиционными вершинами цикла.

**ЗАМЕЧАНИЕ.** Оппозиционные вершины не обязательно являются диаметрально противоположными вершинами цикла, это не внутренняя характеристика вершин в цикле, а характеристика расположения вершин цикла в графе. Однако в некоторых рассматриваемых ниже ситуациях, когда цикл инвариантен относительно определенных подстановок, эти два понятия совпадают.

**ПРЕДЛОЖЕНИЕ 5.** Пусть  $Z$  - гипогамильтонов цикл в графе  $P_n$ ,  $X, Y$  - крайние вершины в  $Z$  из внешнего слоя,  $U, V$  - крайние вершины из внутреннего слоя, причем  $X, V$  - оппозиционные вершины. Пусть

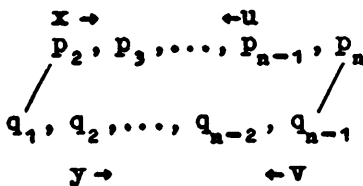
$$C_X(Z) = (P_2, P_3, \dots, P_n; q_{n-1}, \dots, q_2, q_1), \text{ тогда}$$

$$C_V(Z) = (q_{n-1}, q_{n-2}, \dots, q_2, q_1; P_2, P_3, \dots, P_{n-1}, P_n),$$

$$C_U(Z) = (-P_{n-1}, -P_{n-2}, \dots, -P_3, -P_2, -q_1, -q_2, \dots, \dots, -q_{n-1}, -P_n),$$

$$C_Y(Z) = (-q_2, -q_3, \dots, -q_{n-2}, -q_{n-1}, -P_n; -P_{n-1}, \dots, \dots, -P_3, -P_2, -q_1).$$

◀ Представим код  $C_X(Z)$  в циклическом виде и обозначим на нем позиции, соответствующие крайним точкам:



Эти позиции обозначены символом самой крайней точки и стрелкой. Стрелка показывает направление движения по циклу в случае, когда код цикла строится по данной крайней точке. Теперь для обоснования искомых формул достаточно учесть, что при изменении направления обхода цикла знак чисел  $P_i, Q_i$  меняется на противоположный. ▶



Перейдем теперь к доказательству существования гипогамильтоновых циклов в графах  $P_n$ . Последовательность  $(p_2, p_3, \dots, \dots, p_n; q_{n-1}, \dots, q_2, q_1)$  целых чисел назовем реализуемой, если в  $P_n$  существуют такой цикл  $Z$  и такая крайняя вершина  $x$  этого цикла, что

$$C_x(Z) = (p_2, p_3, \dots, p_n; q_{n-1}, \dots, q_2, q_1).$$

ЛЕММА 2. Пусть  $(p_2, p_3, \dots, p_n; q_{n-1}, \dots, q_2, q_1)$  — реализуемая последовательность, тогда она удовлетворяет следующим условиям:

$$\alpha) p_i, q_i \in \{\pm 1, \pm 3\}$$

$$\text{при } 2 \leq i \leq n-1, p_n, q_1 \in \{-4, 4\};$$

$$\beta) |p_i| = |p_{i+1}| \Leftrightarrow \text{sgn}(p_i) = -\text{sgn}(p_{i+1})$$

$$\text{при } 2 \leq i \leq n-2;$$

$$\gamma) q_i = -\text{sgn}(p_i)(4 - |p_i|) \quad \text{при } 2 \leq i \leq n-1;$$

$$\delta) p_n = \begin{cases} -4, & \text{если } p_{n-1} \in \{-1, +3\}; \\ +4, & \text{если } p_{n-1} \in \{+1, -3\}; \end{cases}$$

$$q_1 = \begin{cases} -4, & \text{если } q_2 \in \{-1, +3\}; \\ +4, & \text{если } q_2 \in \{+1, -3\}. \end{cases}$$

◀ Условие "α" содержится в предложении 4. Там же показано, что  $|q_i| = 4 - |p_i|$  при  $2 \leq i \leq n-1$ .

Докажем полностью условие "γ". Пусть, например,  $p_i = 3$ , тогда фрагмент цикла  $Z$ , реализующего последовательность, выглядит так, как это показано на рис. 5 (стрелка указывает выбранное направление движения по циклу). Тогда при возвращении назад мы можем попасть из слоя  $L_{i+1}$  в слой  $L_i$  только по одной вполне определенной перегородке (она обозначена штрихами), после чего движение по слою  $L_i$  возможно только на один

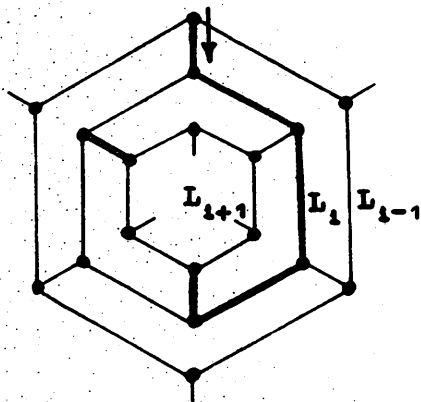


Рис. 5

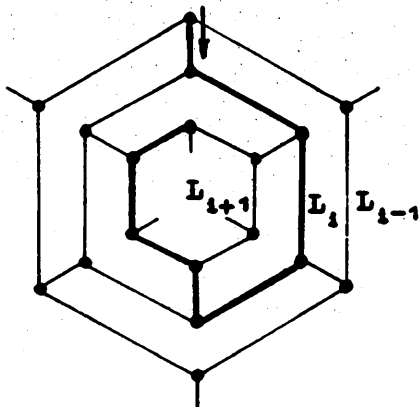


Рис. 6

шаг против часовой стрелки, так что  $q_i = -1$ . Аналогично рассматриваются три других возможных значения  $p_i$ .

Перейдем к доказательству условия "β". Пусть сначала  $|p_i| = |p_{i+1}| = 3$ . Не ограничивая общности, предположим, что  $p_i = 3$ . Допустим от противного, что  $p_{i+1} = 3$ , тогда имеет место ситуация, изображенная на рис. 6. Теперь при движении назад мы должны возвратиться из слоя  $L_{i+1}$  в слой  $L_i$ ; однако для этого нельзя использовать ни одну из двух непройденных перепопок между этими слоями. Значит,  $p_{i+1} = 3$  невозможно, так что  $p_{i+1} = -3$ . Пусть теперь  $|p_i| = |p_{i+1}| = 1$ , тогда, используя условие "γ", получаем, что  $|q_i| = |q_{i+1}| = 3$ , откуда  $\text{sgn}(q_i) = -\text{sgn}(q_{i+1})$ , откуда, опять используя условие "γ", получаем  $\text{sgn}(p_i) = -\text{sgn}(p_{i+1})$ . Итак, импликация "слева → направо" в условии "β" полностью доказана. Пусть те-

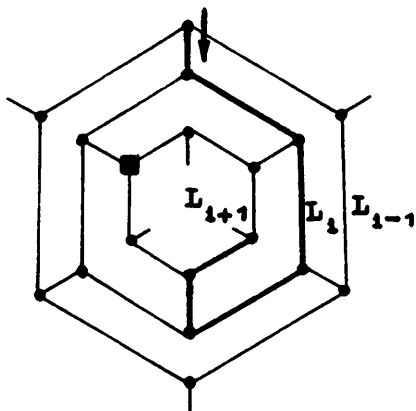


Рис. 7

перь  $|P_i| \neq |P_{i+1}|$  и пусть сначала  $|P_i| = 3$ . Вновь, не ограничивая общности, полагаем  $P_i = 3$ . Теперь надо исключить случай  $P_{i+1} = -1$ . Для этого рассмотрим рис. 7. Здесь мы можем возвратиться из слоя  $L_{i+1}$  в слой  $L_i$  только по перегородке, связанной с вершиной, помеченной знаком  $\blacksquare$ . Однако тогда остается не пройденной в цикле  $Z$  одна из двух вершин слоя  $L_{i+1}$ ,

связанных с этой вершиной. Значит, в этом случае  $P_{i+1} = 1$ . Случай  $|P_i| = 1$  рассматривается аналогично с использованием условия "γ", таким образом, условие "β" полностью доказано.

Первая часть условия "δ" в случае, когда  $P_{n-1} = 3$ , легко усматривается на рис. 8. В самом деле, если  $P_n = 4$ ,

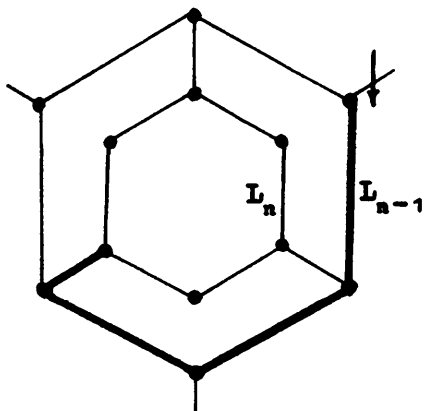


Рис. 8

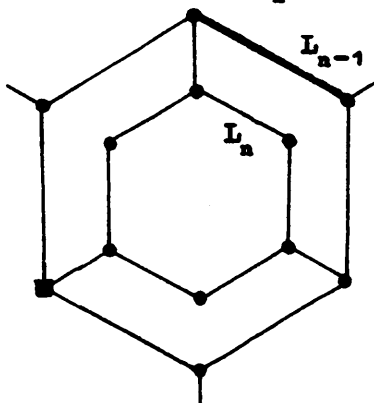


Рис. 9

мы не сможем вернуться из слоя  $L_n$  в слой  $L_{n-1}$ . Пусть теперь  $P_{n-1} = -1$ , тогда обратимся к рис. 9. Здесь, предполагая, что  $P_n = 4$ , мы возвращаемся из слоя  $L_n$  в слой  $L_{n-1}$  через перегородку в вершине, помеченной  $\blacksquare$ , а затем неизбежно оставляем незатронутыми циклом две вершины из слоя  $L_{n-1}$ . Вторая часть условия "δ" также доказывается с использованием условия "γ". ▶

Таким образом, нами доказаны необходимые условия существования гипогамильтонова цикла в  $P_n$ . Оказывается, эти условия являются и достаточными.

**ЛЕММА 3.** Пусть последовательность  $(P_2, P_3, \dots, P_n; Q_{n-1}, \dots, Q_2, Q_1)$  удовлетворяет условиям "α"-"δ", приведенным в формулировке леммы 2, тогда она реализуема как код некоторого гипогамильтонова цикла  $Z$  в графе  $P_n$ .

◀ Зафиксируем какую-либо вершину на внешнем цикле в качестве крайней и начнем строить цикл  $Z$  в соответствии с составляющими кода. Условия "α" гарантируют, что никаких препятствий на прямом участке пути (от внешнего к внутреннему циклу) не возникнет. Рассматривая рисунки, аналогичные рисункам 5-9, нетрудно убедиться, что выполнение условий "β"-"δ" при конкретном значении  $i$  гарантирует каждый раз возможность продолжения гипогамильтонова цикла по  $i$ -у слою при движении на обратном пути. Поэтому в конечном счете будет построен искомым цикл из  $6n-2$  вершин. ▶

**ТЕОРЕМА 1.** При  $n \geq 2$  в графе  $P_n$  содержится в точности  $3 \cdot 2^{n-2}$  различных гипогамильтоновых циклов.

◀ Подсчитаем количество последовательностей, удовлетворяющих условиям "α"-"δ". Из условий "γ", "δ" следует, что каждая такая последовательность полностью определяется значениями  $P_2, P_3, \dots, P_{n-1}$ . Из условия "α" следует, что значение

$P_2$  может быть выбрано 4 способами. Из условий " $\beta$ " следует, что значение  $p_i$ ,  $2 \leq i \leq n-1$ , после того, как выбрано значение  $p_{i-1}$ , может быть выбрано 2 способами. Всего получаем, таким образом,  $4 \cdot 2^{n-3}$  последовательностей, удовлетворяющих условиям " $\alpha$ "-" $\delta$ ". Эти и только эти последовательности являются реализуемыми, согласно леммам 2 и 3. При этом каждая реализуемая последовательность может быть реализована, начиная с одной из 6 вершин валентности 3, лежащих на внешнем и внутреннем слоях. Наконец, каждый гипогамильтонов цикл может быть, согласно предложению 5, закодирован четырьмя способами, в зависимости от выбора крайней вершины. Поэтому всего имеется  $6 \cdot 4 \cdot 2^{n-3} / 4 = 3 \cdot 2^{n-2}$  различных гипогамильтоновых циклов в графе  $P_n$ .  $\blacktriangleright$

Таким образом, мы показали, что в  $P_n$  при  $n \geq 2$  имеются гипогамильтоновы циклы, причем их количество растет экспоненциально с увеличением  $n$ . Осталось теперь научиться подсчитывать количество попарно неизоморфных циклов, т.е. циклов, по-разному расположенных в  $P_n$ .

## §5. Подсчет количества

### неизоморфных гипогамильтоновых циклов

Обозначим через  $\Omega_n$  множество всех гипогамильтоновых циклов в графе  $P_n$ . Выше было доказано, что  $|\Omega_n| = 3 \cdot 2^{n-2}$ . Пусть  $G = \text{Aut}(P_n)$ . Каждый автоморфизм графа  $P_n$  переводит любой гипогамильтонов цикл в какой-то другой гипогамильтонов цикл. Поэтому корректно определено индуцированное действие  $(\tilde{G}, \Omega_n)$  группы  $G$  на множестве  $\Omega_n$ . Для подсчета количества попарно неизоморфных гипогамильтоновых циклов следует применить лемму Бернсайда к группе подстановок  $(\tilde{G}, \Omega_n)$ . Мы будем применять лемму Бернсайда по следующей схеме: перечислим все элементы группы  $G$  и для каждого элемента вычислим характер его индуцированного действия на  $\Omega_n$ . При этом учтем, что элементы из одного и того же класса сопряжен-

ных элементов имеют одно и то же значение характера при любом индуцировании. Кроме того, учтем, что подстановка  $\lambda \in G$  тогда и только тогда переводит цикл  $Z$  из  $\Omega_n$  в себя, когда  $\lambda_n$  есть автоморфизм  $Z$ . Напомним (см. §3), что  $G \cong S_3 \times S_2$ . В группе  $S_3$  — три класса сопряженных элементов: единичная подстановка, три подстановки порядка 2 и две подстановки порядка 3. Пусть  $\epsilon_n$  — единичная подстановка, действующая на  $P_n$ ,  $g_n, h_n$  — подстановки порядка 3 и 2 соответственно, определенные в пункте 3. Пусть, наконец,  $\tau_n$  — подстановка порядка 2, там же определенная. Тогда сведения о всех классах сопряженных элементов в группе  $G$ , их представителях и мощности приведены соответственно в первом, втором и третьем столбцах таблицы.

Т а б л и ц а

№ пп	Представитель класса	Мощность класса	Характер индуцированного действия при		
			$n = 2$	$n = 2k$	$n = 2k+1$
1	$\epsilon_n$	1	3	$3 \cdot 2^{2k-2}$	$3 \cdot 2^{2k-1}$
2	$g_n$	2	0	0	0
3	$h_n$	3	1	0	0
4	$\tau_n$	1	3	$3 \cdot 2^{k-1}$	0
5	$g_n \cdot \tau_n$	2	0	0	0
6	$h_n \cdot \tau_n$	3	1	$2^{k-1}$	$2^k$

Рассмотрим сначала случай  $n = 2$ . Здесь имеется три цикла:

$$Z_{2,1} = (a_1, b_1, c_1, d_1, e_1, e_2, d_2, c_2, b_2, a_2),$$

$$Z_{2,2} = (e_1, f_1, a_1, b_1, c_1, c_2, b_2, a_2, f_2, e_2),$$

$$Z_{2,3} = (c_1, d_1, e_1, f_1, a_1, a_2, f_2, e_2, d_2, c_2).$$

Единичная подстановка  $\epsilon_2$ , очевидно, переводит каждый из трех циклов в себя, так что  $\chi(\tilde{\epsilon}_2) = 3$ . Поскольку подстановка  $\tilde{\epsilon}_2$  имеет порядок 3, она не может являться автоморфизмом цикла длины 10, так что  $\chi(\tilde{\tilde{\epsilon}}_2) = 0$ . Подстановка  $\tilde{h}_2$  оставляет на месте вершины  $\tilde{d}_1$  и  $\tilde{d}_2$ , отсюда нетрудно заметить, что  $\tilde{h}_2$  переводит цикл  $Z_{2,2}$  в себя и переводит циклы  $Z_{2,1}$  и  $Z_{2,3}$  друг в друга, так что  $\chi(\tilde{h}_2) = 1$ . Подстановка  $\tilde{\tau}_2$  меняет местами все соответствующие вершины внешнего и внутреннего слоев. По этой причине  $\tilde{\tau}_2$  переводит в себя каждый из трех циклов, т.е.  $\chi(\tilde{\tau}_2) = 3$ . По этой же причине  $\chi(\tilde{\tilde{\epsilon}}_2) = \chi(\tilde{\tilde{\epsilon}}_2 \cdot \tilde{\tau}_2)$  и  $\chi(\tilde{h}_2) = \chi(\tilde{h}_2 \cdot \tilde{\tau}_2)$ . Тем самым полностью обоснованы все числовые значения, приведенные в четвертом столбце таблицы. Теперь можно непосредственно применять лемму Бернсайда для подсчета количества  $\sigma(2)$  попарно неизоморфных гогамильтоновых циклов:

$$\begin{aligned} \sigma(2) &= \frac{1}{12} (\chi(\tilde{\epsilon}_2) + 2\chi(\tilde{\tilde{\epsilon}}_2) + 3\chi(\tilde{h}_2) + \chi(\tilde{\tau}_2) + \\ &+ 2\chi(\tilde{\tilde{\epsilon}}_2 \cdot \tilde{\tau}_2) + 3\chi(\tilde{h}_2 \cdot \tilde{\tau}_2)) = \\ &= \frac{1}{12} (3+0+3+3+0+3) = \frac{12}{12} = 1. \end{aligned}$$

Таким образом, мы строго обосновали тот изначально очевидный факт, что все три цикла изоморфно вложены в граф  $P_2$ , т.е. находятся в одной орбите индуцированного действия группы  $\text{Aut}(P_2)$ . Так что приведенные вычисления можно рассматривать как первоначальную иллюстрацию леммы Бернсайда.

В случае произвольного  $n$  реализовать приведенную выше схему в полном объеме не удастся, так как мощность множества  $\Omega_n$  резко возрастает при увеличении  $n$ . Поэтому мы используем введенную в §4 кодировку элементов  $\Omega_n$  и для вычисления значений характеров индуцированных подстановок из  $G =$

=  $\text{Aut}(P_n)$ . Вычисления будем проводить отдельно для четных и нечетных значений  $n$ , так как вид  $\tau_n$  зависит от четности числа  $n$ .

ЛЕММА 4. Пусть  $n = 2k, k > 1$ , тогда  $\chi(\tilde{\epsilon}_n) = 3 \cdot 2^{2k-2}$ ,  $\chi(\tilde{\tau}_n) = 3 \cdot 2^{k-1}$ ,  $\chi(\tilde{h}_n \cdot \tilde{\tau}_n) = 2^{k-1}$ ,  $\chi(\tilde{\xi}_n) = \chi(\tilde{h}_n) = \chi(\tilde{\xi}_n \cdot \tilde{\tau}_n) = 0$ .

Формулы для  $\chi(\tilde{\epsilon}_n)$  следуют немедленно из теоремы 1. Так как  $\xi_n$  имеет порядок 3, она не может являться автоморфизмом цикла длины  $6n-2$ , так что  $\chi(\tilde{\xi}_n) = 0$ . Аналогичные рассуждения показывают, что  $\chi(\tilde{\xi}_n \cdot \tilde{\tau}_n) = 0$ . Пусть теперь  $\lambda \in S_3 \times S_2$ ,  $\lambda \neq \epsilon$  и  $\chi(\tilde{\lambda}_n) \neq 0$ . Это означает, что существует хотя бы один такой цикл  $Z \in \Omega_n$ , что подстановка  $\lambda_n$  порождает автоморфизм графа  $Z$  (если граф  $Z$  рассматривать сам по себе). Кроме того, действие  $\lambda_n$  сохраняет любые особенности расположения графа  $Z$  в  $P_n$  (с точностью до ориентации графа на плоскости), поскольку одновременно  $\lambda_n \in \text{Aut}(P_n)$ . В частности,  $\lambda_n$  должна переводить множество  $\{x, y, u, v\}$  из четырех крайних вершин цикла  $Z$  в себя. Если при этом две вершины из множества  $\{x, y, u, v\}$  находятся в одной орбите подстановки  $\lambda_n$ , то коды цикла  $Z$ , построенные по этим вершинам, либо совпадают, либо получаются друг из друга умножением на  $-1$  (в зависимости от того, сохраняет подстановка  $\lambda_n$  ориентацию слоев  $L_i$  графа  $P_n$  или меняет ее на противоположную). Далее мы считаем, что обозначения для вершин  $x, y, u, v$  выбрана так же, как это сделано в §4. Рассмотрим оставшиеся три принципиально различные возможности для  $\lambda_n$ .

Пусть  $\lambda = h$ . Тогда  $x^h = y, y^h = x, u^h = v, v^h = u$ . Поскольку  $h_n$  переводит цикл  $Z$  в себя, имеем



$C_{x^n}^{h^n}(Z^n) = C_X(Z)$  . С другой стороны, поскольку  $x^n = y$  и ориентация слоев  $L_1$  изменяема, то получаем  $C_{x^n}^{h^n}(Z^n) = -C_Y(Z)$  . Используя выражения для кодов произвольного цикла, приведенные в формулировке предложения 5, получаем из равенства  $C_X(Z) = -C_Y(Z)$ , что

$$\begin{aligned}
 (p_2, p_3, \dots, p_n; q_{n-1}, \dots, q_2, q_1) &= \\
 &= (q_2, q_3, \dots, q_{n-2}, q_{n-1}, p_n; p_{n-1}, \dots, p_3, p_2, p_1) .
 \end{aligned}$$

В частности, для любого  $2 \leq i \leq n-1$  получаем равенство  $p_i = q_i$ , противоречащее условию "Г". Полученное противоречие с условием "Г" показывает, что наше предположение о существовании цикла  $Z$ , инвариантного относительно  $h_n$ , неверно, так что  $\chi(\tilde{h}_n) = 0$ .

Пусть  $\lambda = \tau$ . Нетрудно видеть, что тогда  $x^n = u$ ,  $u^n = x$ ,  $y^n = v$ ,  $v^n = y$ . Поскольку  $\tau_n$  не меняет ориентацию слоев, получаем  $C_{\tau_n}^{x^n}(Z^n) = C_X(Z)$  и  $C_{\tau_n}^{x^n}(Z^n) = C_u(Z)$ , так что

$$\begin{aligned}
 (p_2, p_3, \dots, p_{n-1}, p_n; q_{n-1}, \dots, q_2, q_1) &= \\
 &= (-p_{n-1}, -p_{n-2}, \dots, -p_3, -p_2; -q_1, -q_2, \dots, -q_{n-2}, -q_{n-1}) .
 \end{aligned}$$

Таким образом, получаем, что для  $2 \leq i \leq k$

$$p_{2k-1+1} = -p_1 \tag{1}$$

и  $q_1 = -p_n$ , причем выполнение этих условий необходимо и достаточно для того, чтобы цикл  $Z$  был инвариантен относительно  $\tau_n$ . Отметим, что равенство  $q_1 = -p_n$  следует из условия  $p_{n-1} = -p_2$  и условий "α"- "δ", приведенных в формулировке леммы 2. Подсчитаем теперь количество всех циклов из  $\Omega_n$ , инвариантных относительно  $\lambda_n$ . Параметр  $p_2$  выберем произвольно одним из четырех способов, тогда для выбора каж-

дого из параметров  $P_3, \dots, P_k$  имеем по два способа, а параметры  $P_{k+1}, \dots, P_n$  определяются из (1) однозначно. Вершину  $X$  можно выбрать шестью способами. Значит,  $\chi(\tilde{\tau}_n) = 6 \cdot 4 \cdot 2^{k-2} / 4 = 3 \cdot 2^{k-1}$ .

Пусть, наконец,  $\lambda = \tau \cdot h$ . Учтем, что  $\tau_n \cdot h_n$  меняет ориентацию всех слоев на противоположную. Рассуждая аналогично, получаем:

$$x^{\tau_n \cdot h_n} = v, v^{\tau_n \cdot h_n} = x, y^{\tau_n \cdot h_n} = u, u^{\tau_n \cdot h_n} = y,$$

$$C_{x^{\tau_n \cdot h_n}}(z^{\tau_n \cdot h_n}) = C_x(z),$$

$$C_{x^{\tau_n \cdot h_n}}(z^{\tau_n \cdot h_n}) = -C_v(z),$$

$$C_x(z) = -C_v(z),$$

так что

$$(P_2, P_3, \dots, P_n; q_{n-1}, \dots, q_2, q_1) = (-q_{n-1}, -q_{n-2}, \dots, -q_2, -q_1; -P_2, -P_3, \dots, -P_{n-1}, -P_n), \quad (2)$$

$$q_{n-i+1} = -P_i, \quad 2 \leq i \leq n-1.$$

Рассматривая условия (2) совместно с условиями " $\alpha$ "-" $\delta$ ", получаем, что параметр  $P_2$  может быть выбран 4 способами, каждый из параметров  $P_3, \dots, P_k$  - двумя способами, после чего код цикла определен однозначно. В качестве вершины  $X$  может быть выбрана любая из двух вершин валентности 3, лежащих на внешнем или внутреннем слое и фиксируемых подстановкой  $\tau_n$ .

В итоге получаем  $\chi(\tilde{\tau}_n \cdot \tilde{h}_n) = 2 \cdot 4 \cdot 2^{k-2} / 4 = 2^{k-1}$ .  $\blacktriangleright$

ЛЕММА 5. Пусть  $n = 2k+1, k \geq 1$ , тогда  $\chi(\tilde{\xi}_n) =$   
 $= 3 \cdot 2^{2k-1}$ ,  $\chi(\tilde{h}_n \cdot \tilde{\tau}_n) = 2^k$ ,  $\chi(\tilde{\xi}_n) = \chi(\tilde{h}_n) = \chi(\tilde{\tau}_n) =$   
 $= \chi(\tilde{\xi}_n \cdot \tilde{\tau}_n) = 0$ .

◀ Доказательство проводится аналогично доказательству предыдущей леммы. Точно так же показываем, что  $\chi(\tilde{\xi}_n) =$   
 $= 3 \cdot 2^{2k-1}$ ,  $\chi(\tilde{\xi}_n) = \chi(\tilde{h}_n) = \chi(\tilde{\xi}_n \cdot \tilde{\tau}_n) = 0$ .

В случае  $\lambda = \tau$  слой  $L_{k+1}$  инвариантен относительно действия подстановки  $\tau_n$ , причем  $\tau_n$  меняет местами диа-

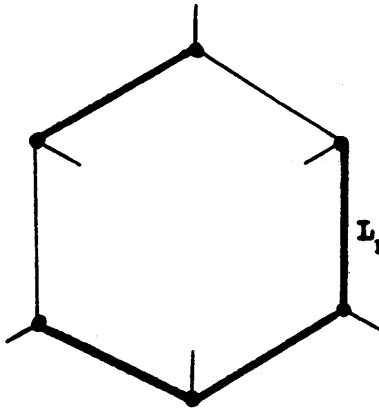


Рис. 10

метрально противоположные вершины цикла длины 6, порожденного слоем  $L_{k+1}$ . Однако подграф из четырех ребер этого слоя, входящих в некоторый гипогамильтонов цикл  $Z \in \Omega_n$  (см. рис. 10), не инвариантен относительно действия  $\tau_n$  на  $L_{k+1}$ . Отсюда  $\chi(\tilde{\tau}_n) = 0$ . В случае  $\lambda = \tau \cdot h$  подстановка  $\tau_n \cdot h_n$  переводит "одинокое" ребро, изображенное

на рис. 10, в себя. Отсюда заключаем, что  $x^n \cdot h^n = u$  и  $u^n \cdot h^n = x$ ,  $y^n \cdot h^n = v$ ,  $v^n \cdot h^n = y$ . Теперь, учитывая, что  $\tau_n \cdot h_n$  меняет ориентацию слоев, получаем  $C_x(Z) = -C_y(Z)$ , так что

$$(P_2, P_3, \dots, P_n; q_{n-1}, \dots, q_2, q_1) =$$

$$= (P_{n-1}, P_{n-2}, \dots, P_3, P_2, q_1; q_2, \dots, q_{n-2}, q_{n-1}).$$

Приходим к соотношениям (для  $2 \leq i \leq k$ ):

$$P_{2k-i+2} = P_i. \quad (3)$$

Условия (3) не накладывают никаких ограничений на пара - метр  $P_{k+1}$ . Условимся о следующем. Начинаем построение кода инвариантного цикла с  $P_{k+1}$ ; выбираем  $|P_{k+1}| = 1$ , отождествляем вершину, соединенную перегородкой со слоем  $L_k$ , с какой-то одной из двух вершин этого слоя, лежащих на неподвижных относительно  $\tau_n \cdot h_n$  ребрах. После этого каждое из значений  $P_2, \dots, P_k$  может быть выбрано двумя способами, а все остальные значения кода определяются равенствами (3) и условиями "а"-"б". Имеем окончательно (учитывая, что только для двух кодов  $|P_{k+1}| = 1$ )  $\chi(\tilde{\tau}_n \cdot \tilde{h}_n) = 2 \cdot 2 \cdot 2^{k-1} / 2 = 2^k$ . ▶

Теперь мы можем применить лемму Бернсайда и подсчитать количество попарно неизоморфных циклов.

**ТЕОРЕМА 2.** Пусть  $\sigma(n)$ ,  $n \geq 3$ , - количество гипогамильтоновых циклов графа  $P_n$ , неизоморфных относительно действия группы  $\text{Aut}(P_n)$ . Тогда

$$\sigma(n) = \begin{cases} 2^{k-2}(2^{k-2} + 1), & \text{если } n = 2k; \\ 2^{k-2}(2^{k-1} + 1), & \text{если } n = 2k+1. \end{cases}$$

◀ Пусть  $n = 2k$ ,  $k > 1$ . Тогда

$$\begin{aligned} \sigma(n) &= \frac{1}{12} (3 \cdot 2^{2k-2} + 3 \cdot 2^{k-1} + 3 \cdot 2^{k-1}) = \\ &= \frac{1}{12} 3 \cdot 2^{k-1} (2^{k-1} + 1 + 1) = 2^{k-2} (2^{k-2} + 1). \end{aligned}$$

Пусть  $n = 2k + 1$ ,  $k \geq 1$ . Тогда

$$\begin{aligned} \sigma(n) &= \frac{1}{12} (3 \cdot 2^{2k-1} + 3 \cdot 2^k) = \\ &= \frac{1}{12} 3 \cdot 2^k (2^{k-1} + 1) = 2^{k-2} (2^{k-1} + 1). \quad \blacktriangleright \end{aligned}$$

Авторы выражают признательность Н.С.Зефинову и С.С.Трачу за внимание, проявленное к работе, способствовавшее преодолению "языкового барьера" между математиками и химиками, а также И.А.Фараджеву за полезные советы и замечания по тексту.

#### Л и т е р а т у р а

1. МЖЕЛЬСКАЯ Е.В., СКОРОБОГАТОВ В.А. Применение теории графов в химии полициклических бензеноидных углеводов.-Новосибирск, 1987. - 34 с. - (Препринт/АН СССР. Сиб. отделение. Ин-т математики, № 35).

2. RANDIC M. A graph theoretical basis for structural chemistry. I. Structures based on trivalent graphs with 10 vertices //Acta Crystallogr.-1978.-Vol. A34,part 2. -P.275-282.

3. HUBERT A.J. Multimacrocyclic Compounds. Part III. Attempts to prepare benzenoid cage compounds from novel polyacetylenes //J.Chem. Soc. C.- 1967.-N. 1. - P. 13-14.

4. CAHN R.C., INGOLD C., PRELOG V. Specification der molekularen Chiralität //Angew.Chem. - 1966. - Bd. 78. -S.413-417.

5. LEMIERE G.L., ALDERWEIRELDT F.C. Proposition for a new definition of the chiral plane and its consequences for the specification of planar chirality //J.Org. Chem. - 1980. -Vol. 45, N. 21. - P. 3160-3170.

6. Номенклатурные правила по химии. Органическая химия. Полупом I. - М.: ВИНТИ, 1979. - 507 с.

7. РАУШЕНБАХ Б.В. Пространственные построения в живописи. - М.: Наука, 1980. - 287 с.

8. ХАРАРИ Ф. Теория графов. - М.: Мир, 1973. - 300 с.

9. ХОЛЛ М. Теория групп. - М.: Изд. ин.лит., 1962.- 468 с.

10. WIELANDT H. Finite permutation groups. - N.-Y.:Academic Press, 1964. - 198 p.

11. NEUMANN P. A lemma that is not Burnside's //Math. Scientist. - 1979. - Vol. 4. - P. 133-141.

12. KLIN M.Ch., PÖSCHEL R., ROSENBAUM K. Angewandte Algebra. Einführung in gruppentheoretisch-kombinatorische Methoden. -Berlin: VEB Deutscher Verlag der Wissenschaften, 1988.-208 S.

Поступила в ред.-изд.отд.  
9 ноября 1988 года